

FI 193 – Teoria Quântica de Sistemas de Muitos Corpos

1º Semestre de 2025

20/03/2025

Aula 7

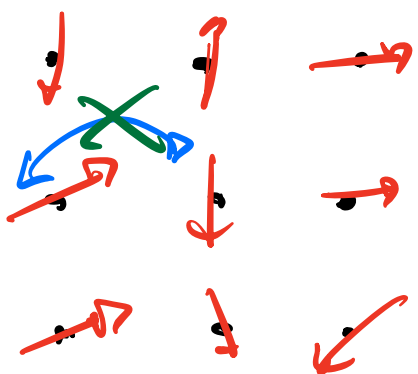
Modelo de Hubbard

$$H_{\text{Hubbard}} = \sum_{\mathbf{k}\sigma} \epsilon(\mathbf{k}) c_{\mathbf{k}\sigma}^\dagger c_{\mathbf{k}\sigma} + U \sum_{i\sigma} n_{i\uparrow} n_{i\downarrow}$$

t

Transição metal-isolante de Mott-Hubbard em semi-preenchimento: $M = \frac{N}{N_s} = 1$

$t \gg U$: METAL

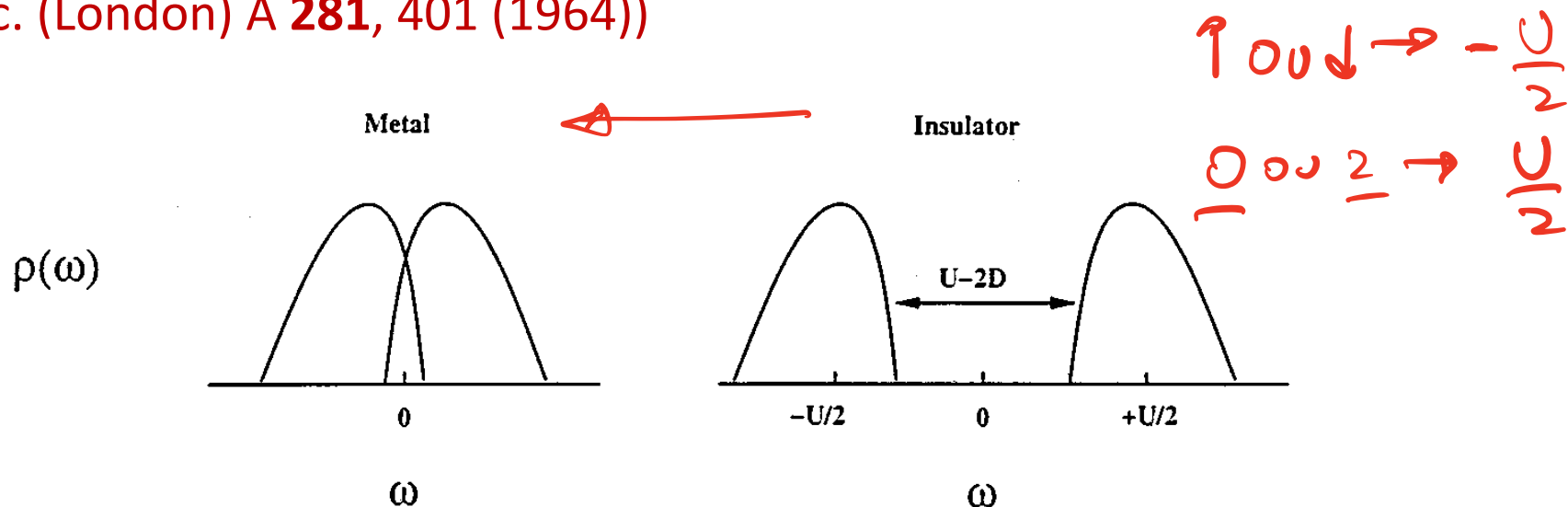
$t \ll U$:  ISOLANTE DE MOTT-HUBBARD

$(\frac{U}{t})_c \rightarrow$ TRANSIÇÃO METAL - ISOLANTE

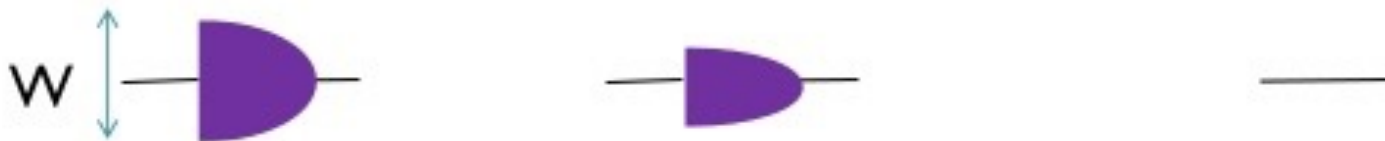
$(\frac{U}{t})_c = 0$ EM 1D (LIEB+WU)

Primeiras descrições teóricas

- A descrição de Hubbard III: do isolante para o metal; duas bandas (de Hubbard) separadas que se tocam na transição (J. Hubbard, Proc. R. Soc. (London) A **281**, 401 (1964))



- A descrição de Brinkman e Rice: do metal para o isolante; desaparecimento das quasi-partículas, $m^* \rightarrow \infty$; não há bandas de Hubbard (W. F. Brinkman and T. M. Rice, Phys. Rev. B **2**, 4302 (1970))

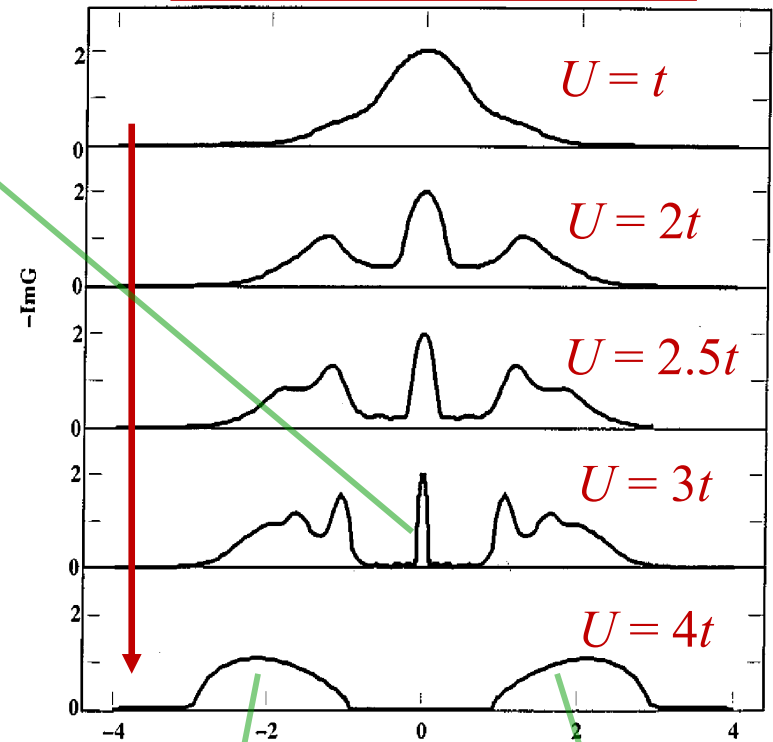


Teoria dinâmica de campo médio (Dynamical mean field theory)

Pico de quasi-partículas (Brinkman-Rice)

Unificação de Brinkman-Rice + Hubbard III

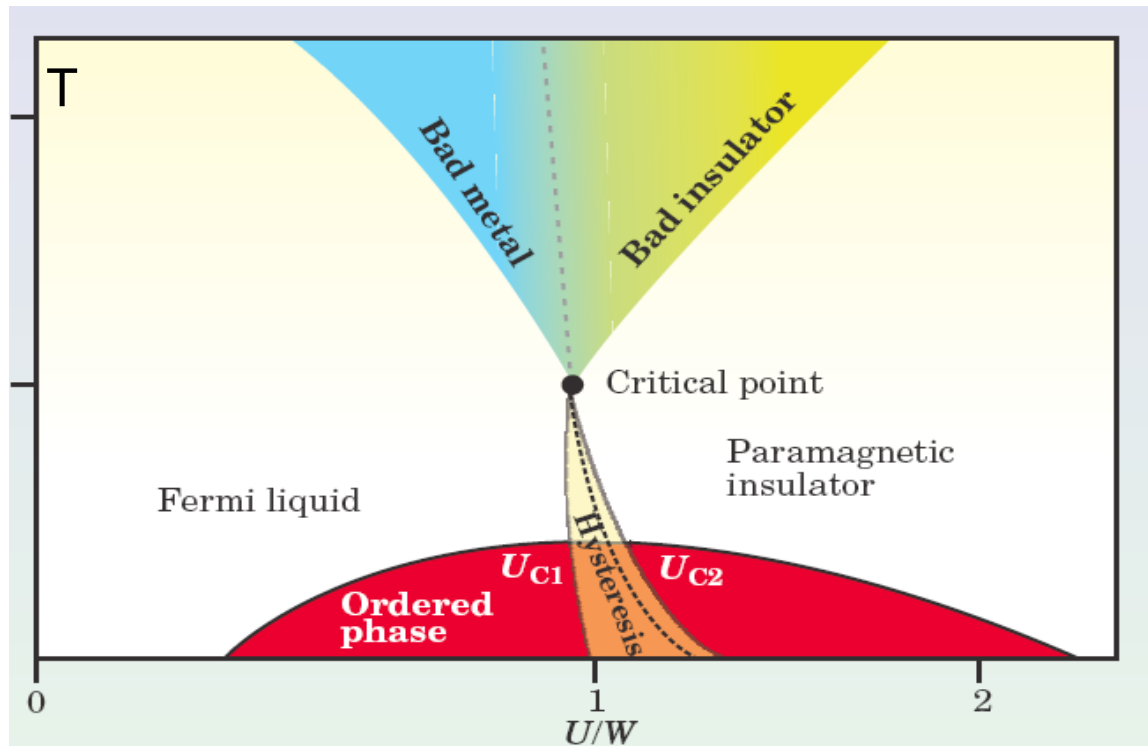
Density of states



X.Y.Zhang, M. Rozenberg G. Kotliar (PRL 1993)

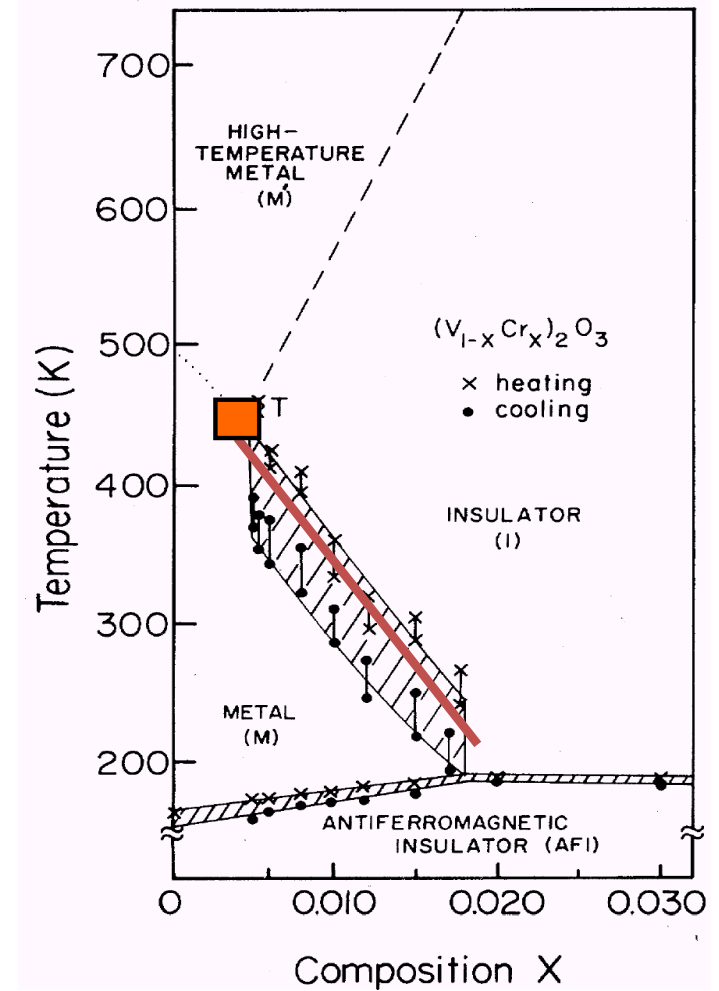
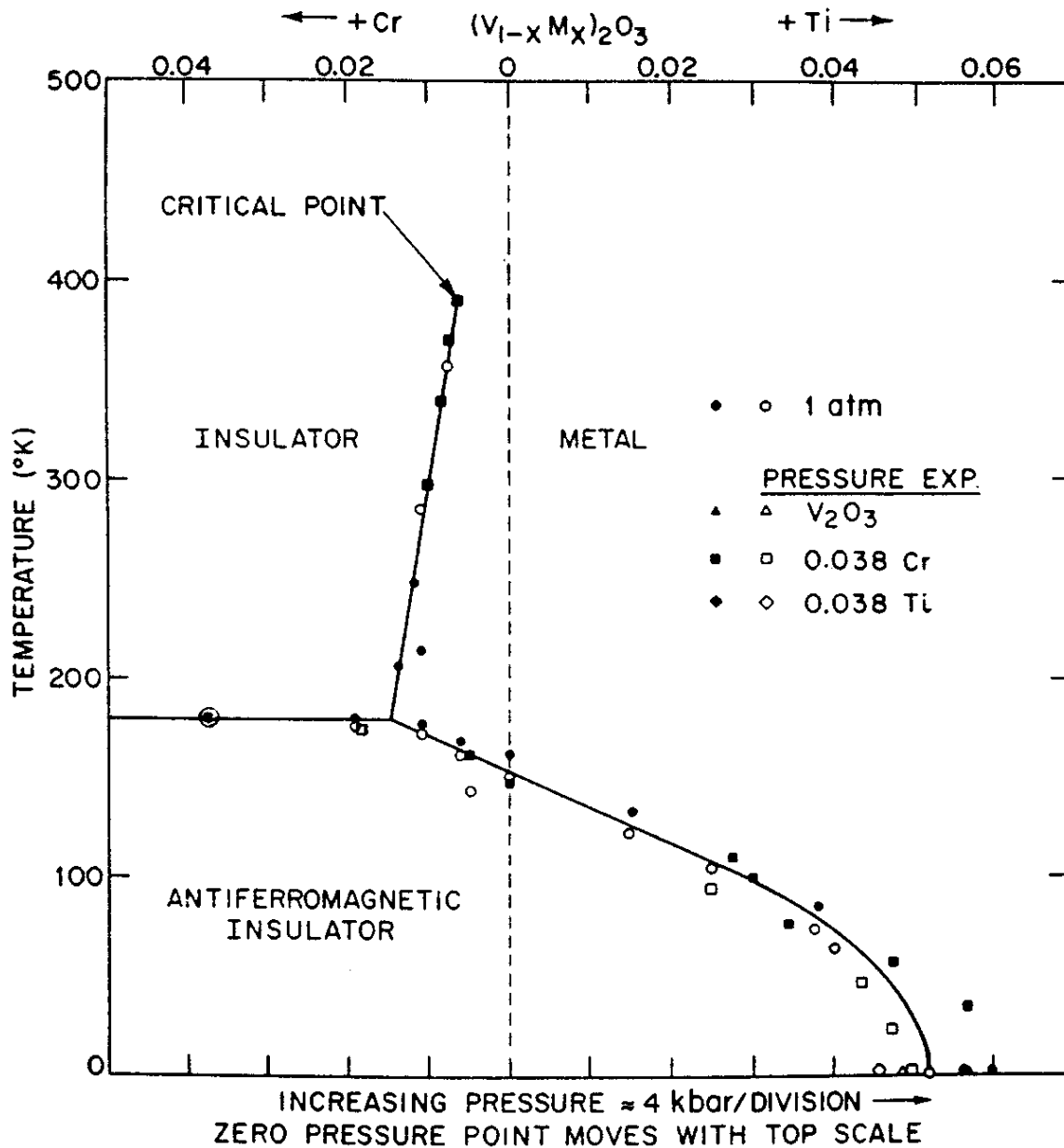
Bandas de Hubbard (Hubbard III)

Diagrama de fases (DMFT)



Kotliar, Vollhardt, Phys. Today (2004)

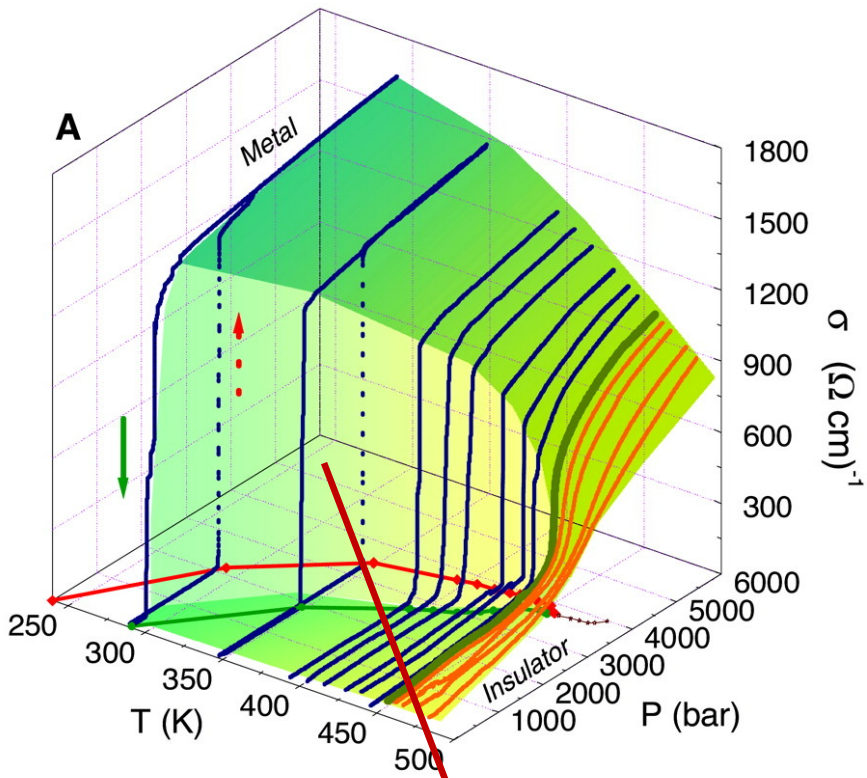
McWhan, D. B., A. Menth, J. P. Remeika, W. F. Brinkman, and T. M. Rice, 1973, Phys. Rev. B 7, 1920.



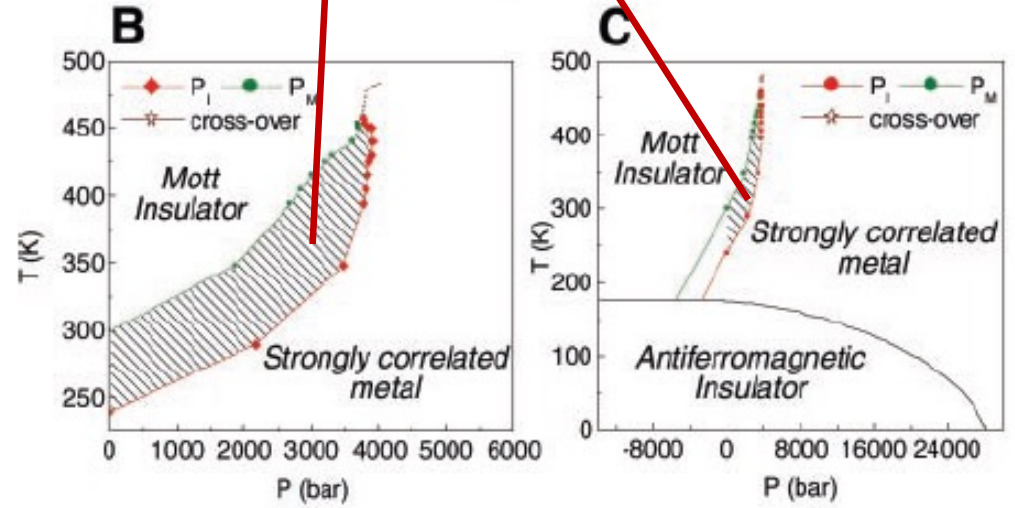
Kuwamoto, PRB '80

- Pressão aumenta t , diminui U/t , favorece o comportamento metálico.
- Pressão química: elemento de raio iônico maior/menor aumenta o parâmetro de rede e age como pressão negativa/positiva.

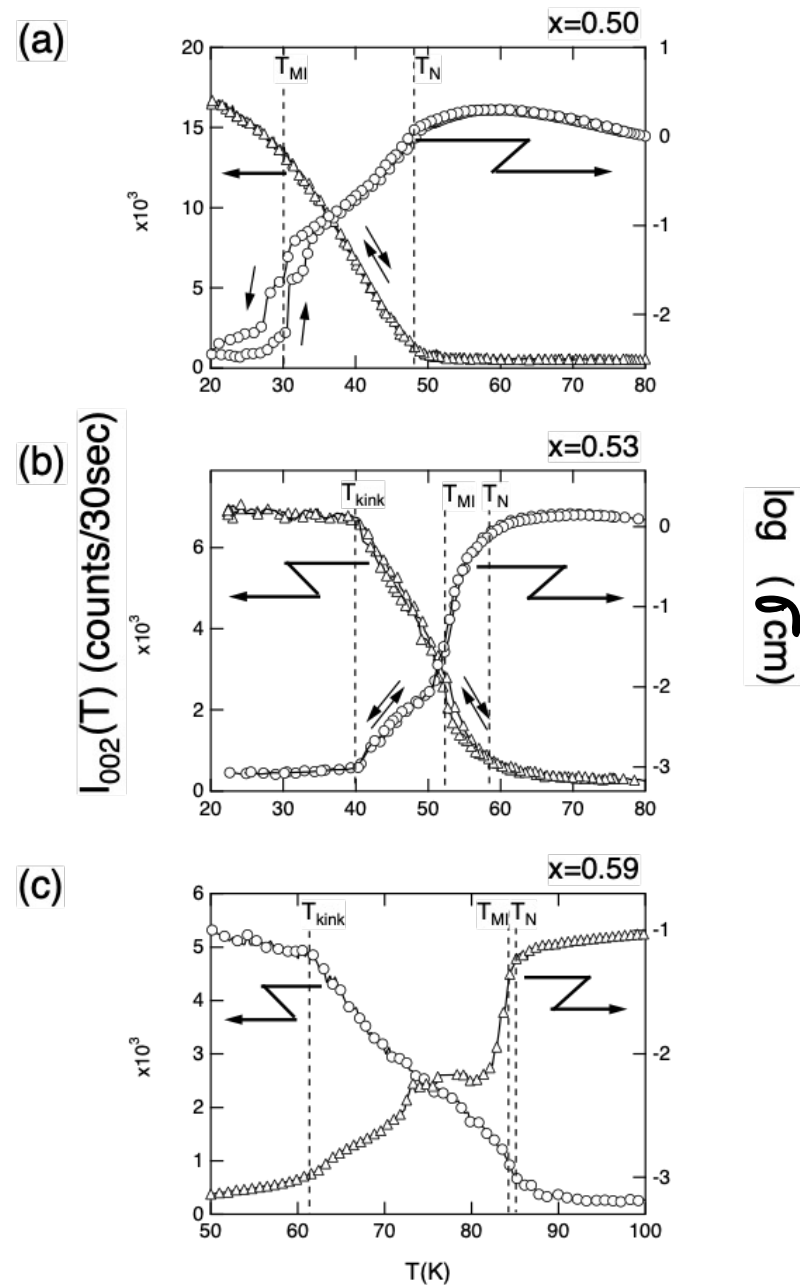
Experimentos em $(V_{0.989}Cr_{0.011})_2O_3$ sob pressão (P. Limelette *et al.*, Science **302**, 89 (2003)).



Coexistência metal-isolante

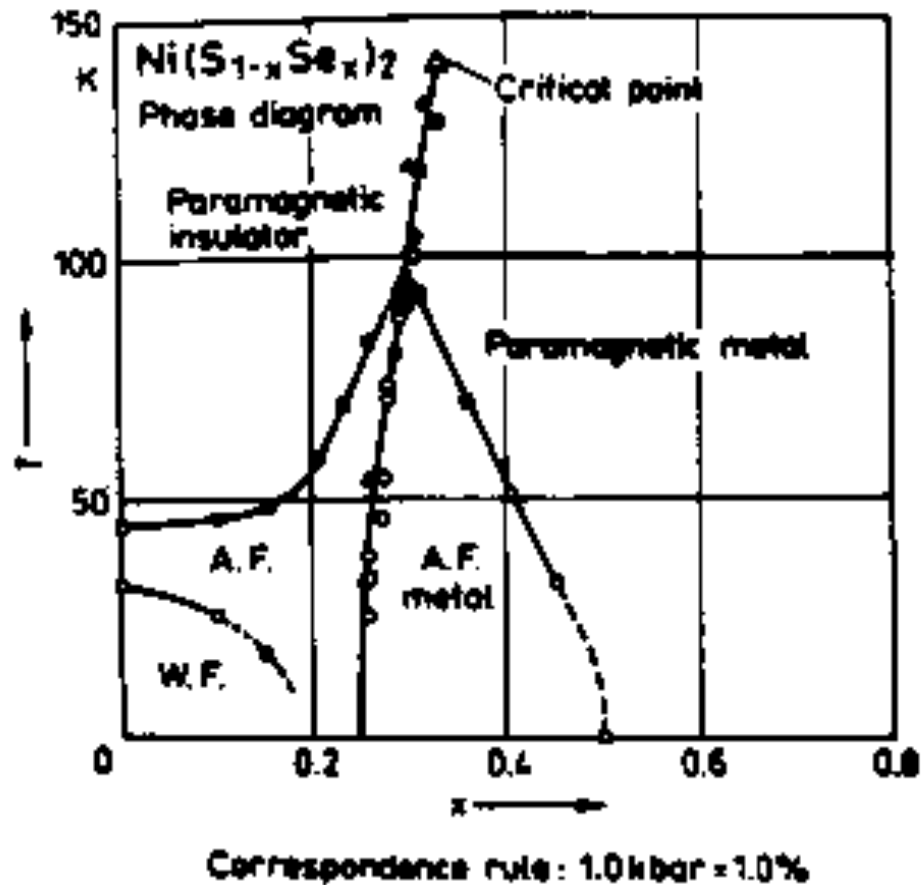


- Histerese: transição de primeira ordem
- Note como a linha de transições termina num ponto crítico
- Como a transição líquido-gás!

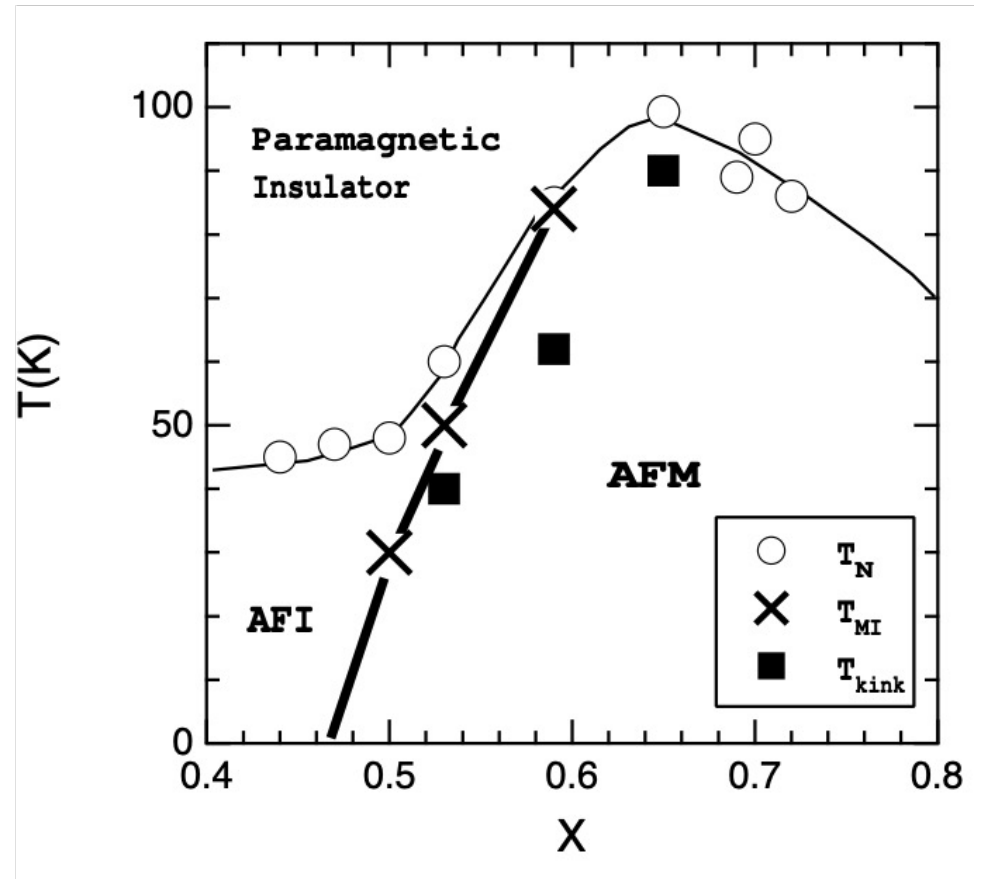
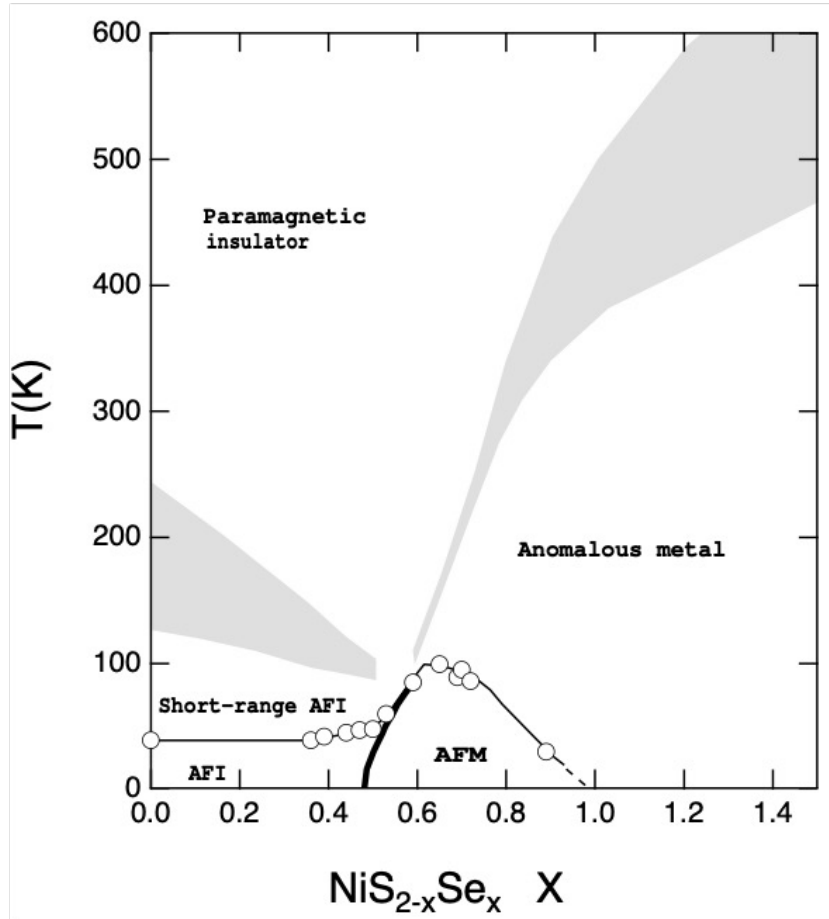


M. Matsuura *et al.*, J. Phys. Soc. Jpn
69, 1503 (2000)

Fig. 5. Temperature dependences of the electrical resistivity and the peak intensity of (002) antiferromagnetic Bragg reflection, $I_{002}(T)$ measured simultaneously for (a) $x = 0.50$ and (b) $x = 0.53$, and separately for (c) $x = 0.59$. Circles and triangles indicate electrical resistivity and $I_{002}(T)$, respectively.

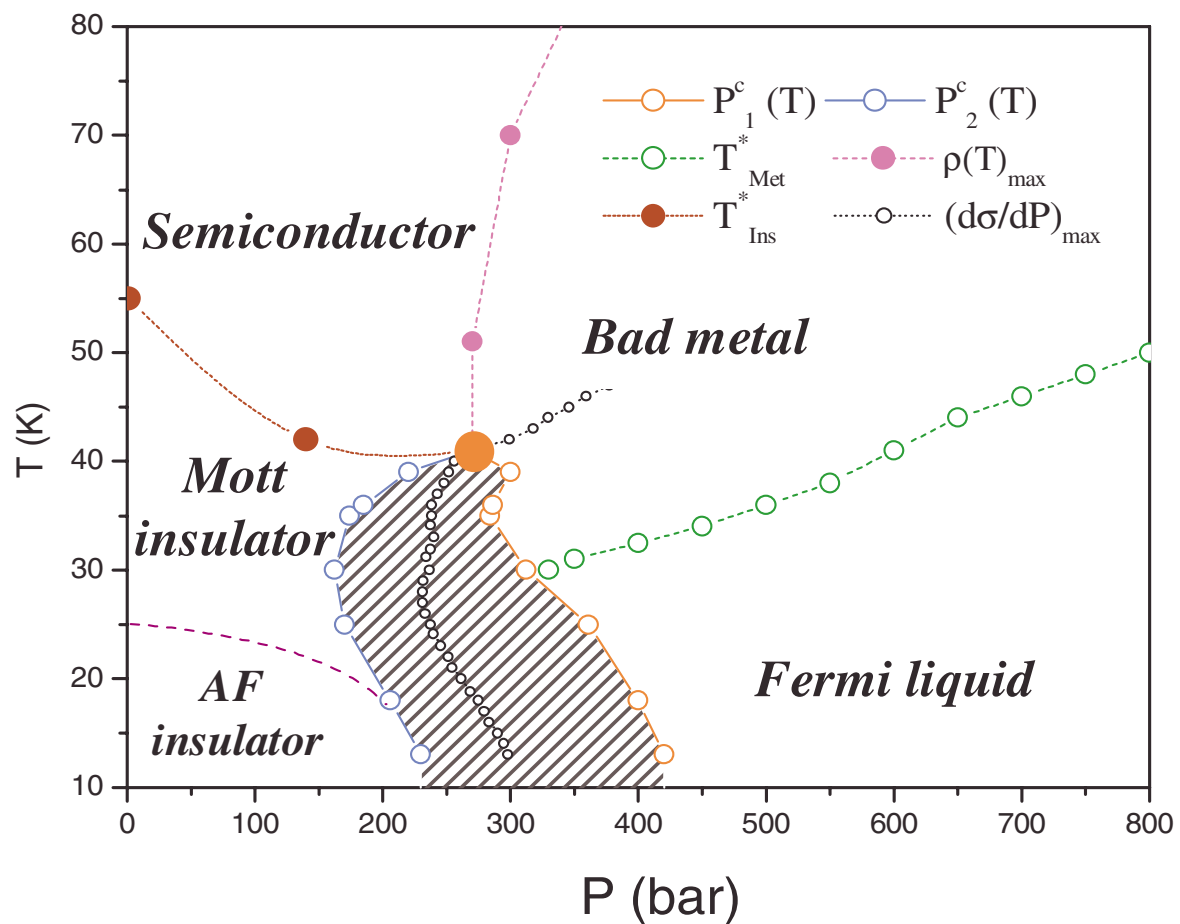
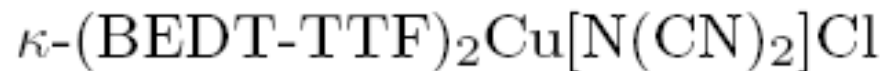


Czjzek *et al.*, JMMM 3, 58 (1976)



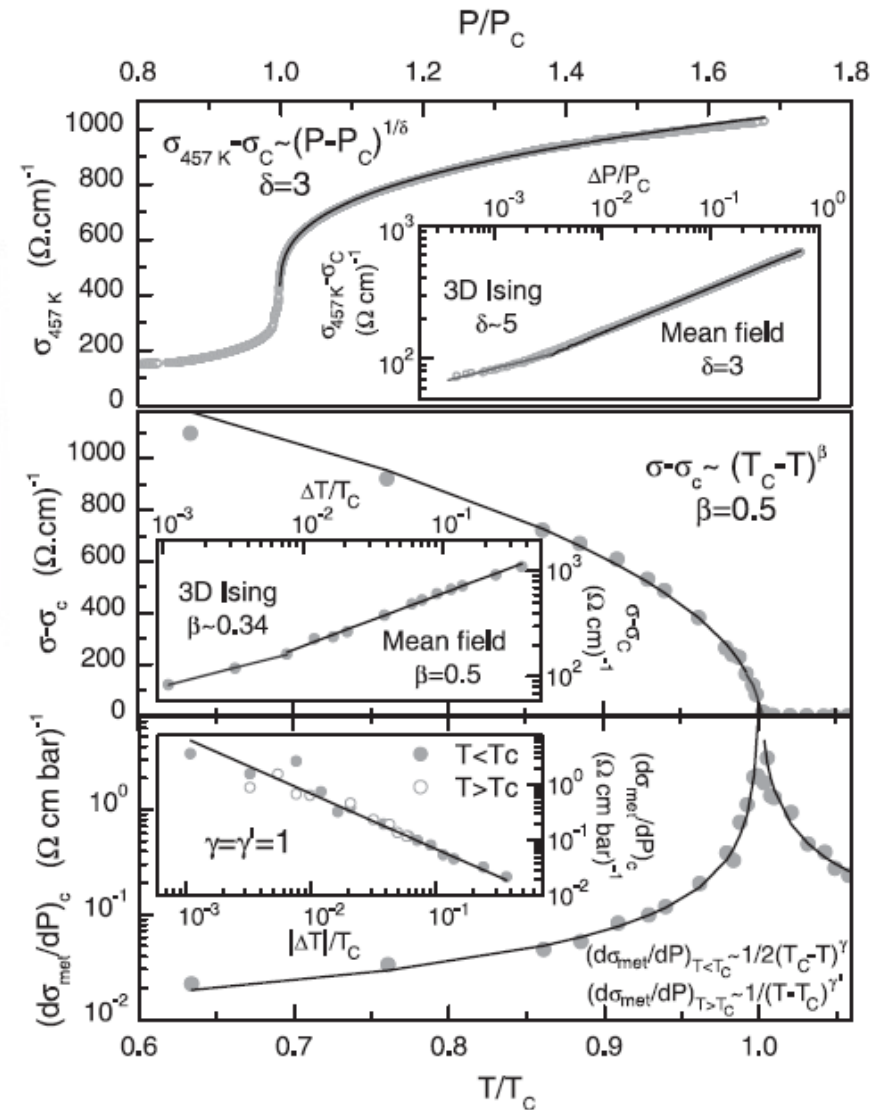
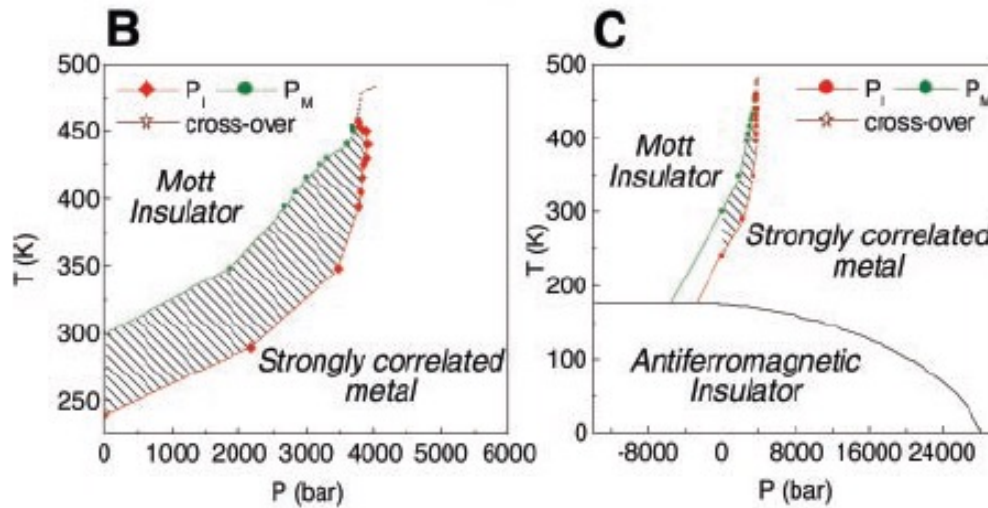
M. Matsuura *et al.*, J. Phys. Soc. Jpn **69**, 1503 (2000)

Condutores orgânicos fortemente bi-dimensionais



Transição de Mott: o ponto crítico

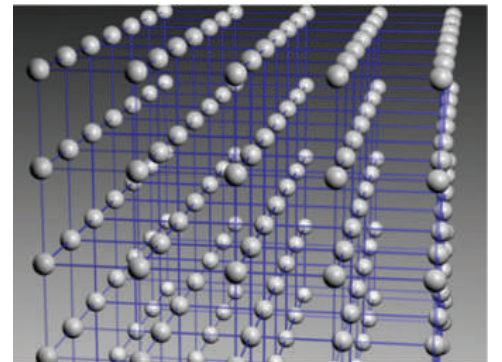
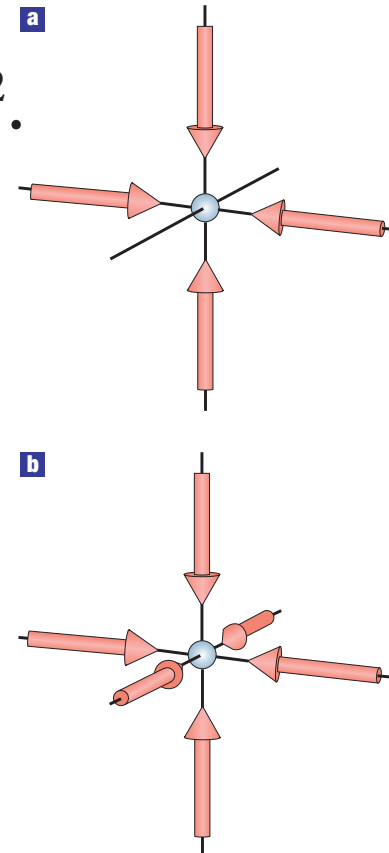
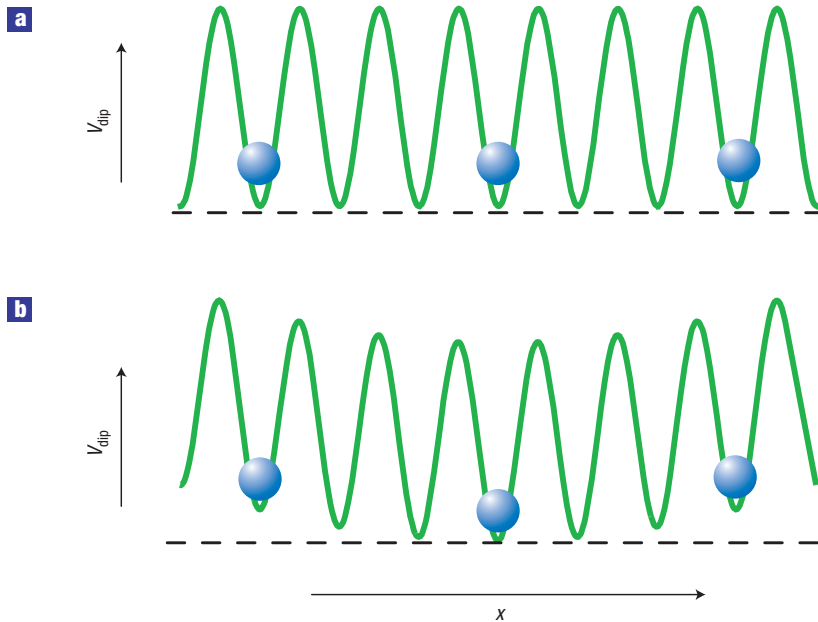
Comportamento crítico idêntico ao da **transição líquido gás** (classe de universalidade de Ising).



O modelo de Hubbard para átomos frios: redes ópticas

$$\vec{d} = \alpha \vec{E}$$

$$V_{\text{dip}}(\mathbf{r}) = -\mathbf{d} \cdot \mathbf{E}(\mathbf{r}) \propto \alpha(\omega_L) |\mathbf{E}(\mathbf{r})|^2.$$



Immanuel Bloch, Nature Phys. 1, 23 (2005)

Modelo de Bose-Hubbard

MODELO PARA BÓSONS DE SPIN $S=0$

$$H_{BH} = -t \sum_{\langle i,j \rangle} (b_i^\dagger b_j + h.c.) + \frac{U}{2} \sum_i (b_i^\dagger b_i^\dagger b_i b_i)$$

$$b_i^\dagger b_i^\dagger b_i b_i = b_i^\dagger (b_i b_i^\dagger - 1) b_i = b_i^\dagger b_i b_i^\dagger b_i - b_i^\dagger b_i$$

$$b_i b_i^\dagger - b_i^\dagger b_i = 1$$

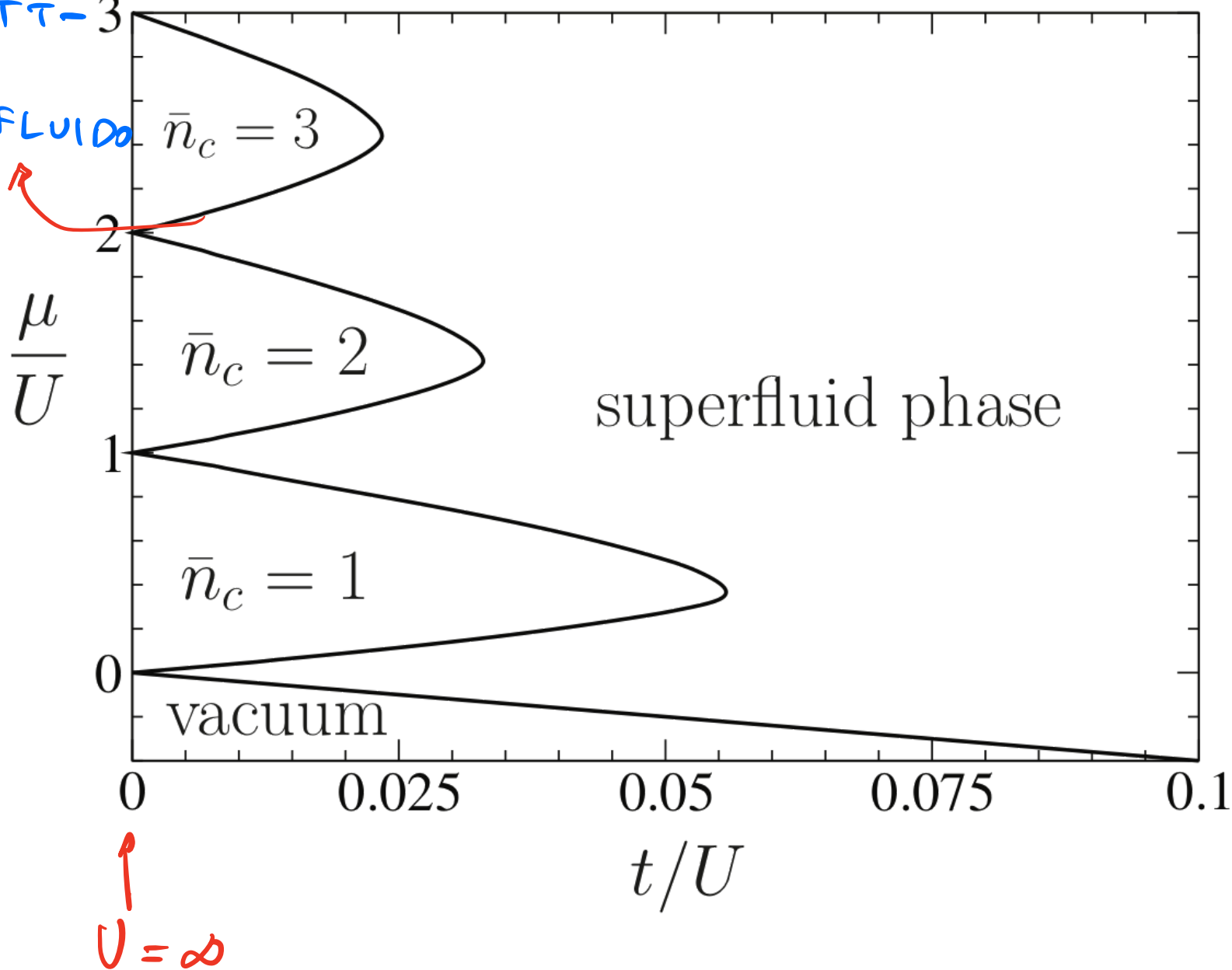
$$\hat{n}_i = b_i^\dagger b_i \Rightarrow \frac{U}{2} \sum_i (\hat{n}_i \hat{n}_i - \hat{n}_i) = \frac{U}{2} \sum_i \hat{n}_i (\hat{n}_i - 1)$$

$$H_{BH} = -t \sum_{\langle i,j \rangle} (b_i^\dagger b_j + h.c.) + \frac{U}{2} \sum_i \hat{n}_i (\hat{n}_i - 1)$$

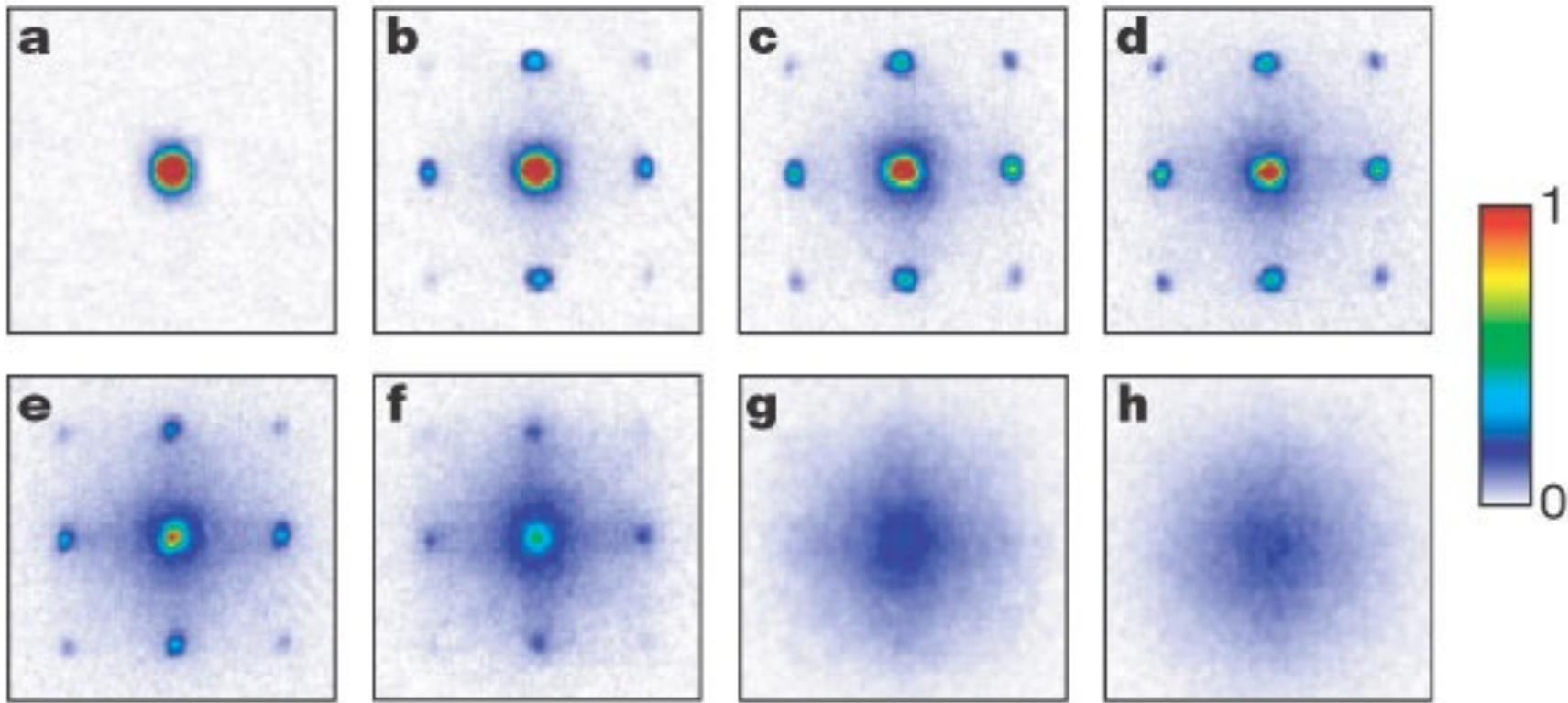
Diagrama de fases

TRANSIÇÃO ISOLANTE T=0
DE HOTT-3

SUPERFLUIDO



Transição superfluido-isolante de Mott: ^{87}Rb



Markus Greiner *et al.*, Nature **415**, 39 (2002)

These were obtained after suddenly releasing the atoms from an optical lattice potential with different potential depths V_0 after a time of flight of 15 ms. Values of V_0 were: a, 0 Er; b, 3 Er; c, 7 Er; d, 10 Er; e, 13 Er; f, 14 Er; g, 16 Er; and h, 20 Er.

Isolante de Mott

O modelo de Heisenberg e superexchange

SEMI-PREENCHIMENTO ($M=1$) E $U \gg t$ (ISOLANTE DE MOTT)



TEORIA DE PERTURBAÇÃO EN t :

DEGENER.



$$H_0 = U \sum_i n_{i\uparrow} n_{i\downarrow}$$

2^{N_s}



$$H_2 = -t \sum_{\langle ij \rangle} (c_{i\sigma}^\dagger c_{j\sigma} + \text{h.c.})$$

T. P. DEGENERADA: EST. FUND.: $|\alpha\rangle = |\sigma_1, \sigma_2, \dots, \sigma_{N_s}\rangle$

PRIMEIRA ORDEM: $M_{\alpha\beta} = \langle \alpha | H_2 | \beta \rangle$

$$= -t \sum_{\langle ij \rangle} \langle \alpha | (c_{i\sigma}^\dagger c_{j\sigma} + \text{h.c.}) | \beta \rangle$$

$H_1 \rightarrow$ CRIA UMA VACÂNCIA E UMA DUPLA OCUPAÇÃO

$$\Rightarrow M_{\alpha\beta} = 0$$

EM SEGUNDA ORDEM:

$$H_{\alpha\beta}^{(2)} = \sum_{n \neq 0} \frac{\langle \alpha | H_2 | n \rangle \langle n | H_2 | \beta \rangle}{E_0^{(0)} - E_n^{(0)}}$$

$$E_0^{(0)} = 0$$

ESTADOS EXC. $|n\rangle \rightarrow 1$ VARÂNCIA E 1 DUPLA OCUPAÇÃO

$$E_n^{(0)} = U$$

$$H_{\alpha\beta}^{(2)} = -\frac{1}{U} \sum_{n \neq 0} \langle \alpha | H_2 | n \rangle \langle n | H_2 | \beta \rangle$$

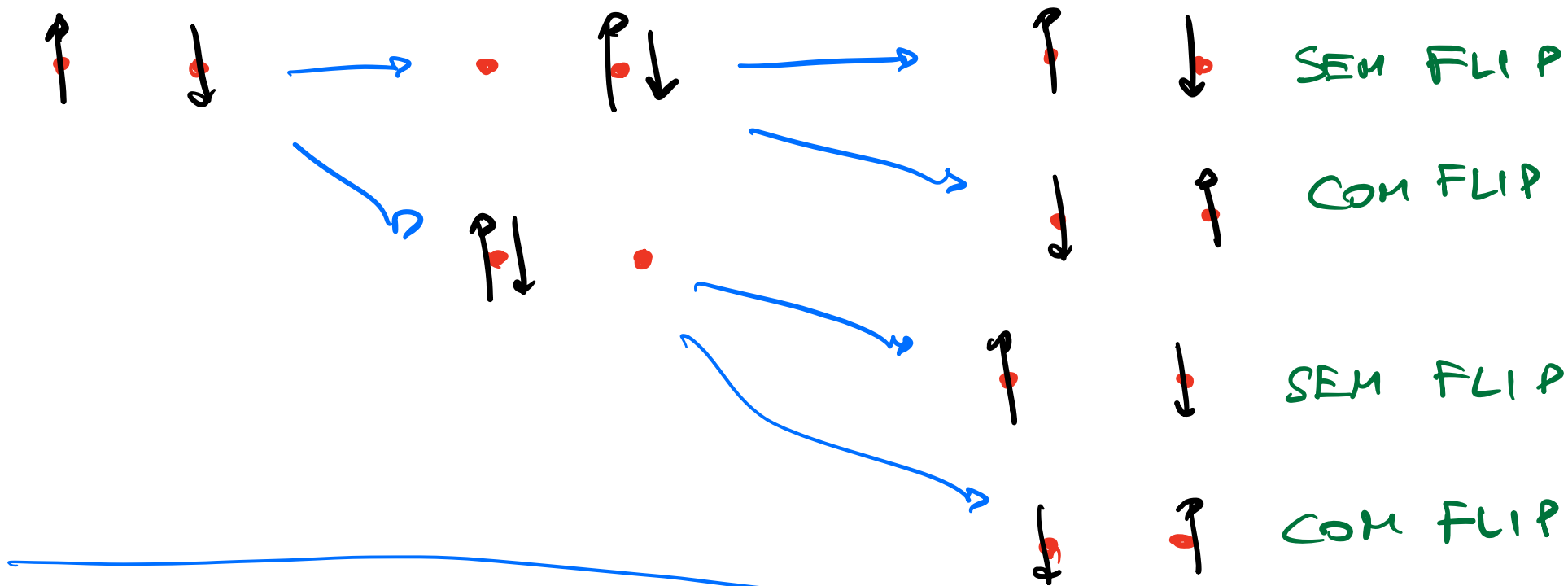
$$\text{MAS: } \mathbb{1} = \sum_{\delta} |\delta\rangle \langle \delta| + \sum_{n \neq 0} |n\rangle \langle n|$$

$$H_{\alpha\beta}^{(2)} = -\frac{1}{U} \langle \alpha | H_2 \left[\mathbb{1} - \sum_{\delta} |\delta\rangle \langle \delta| \right] H_2 | \beta \rangle$$

$$= -\frac{1}{U} \langle \alpha | H_2^2 | \beta \rangle$$

$$H_{\alpha\beta}^{(2)} = -\frac{t^2}{U} \sum_{i,j} \sum_{\substack{\sigma_1, m \\ \sigma_1}} \langle \alpha | (c_{i\sigma}^\dagger c_{j\sigma+h.c.}) (c_{j\sigma}^\dagger c_{m\sigma+h.c.}) | \beta \rangle$$

PARA CADA PAR DE SÍTIOS, O 1º OPERADOR TRANSFERE UM ELÉTRON DE UM SÍTIOS PRO VIZINHO, ASSIM CRIANDO UMA VACÂNCIA E UMA DUPLA OC., E O 2º OPERADOR FAZ O INVERSO TRAZENDO DE VOLTA A VARIEDADE DE $|\alpha\rangle$.



SEMELHANTEMENTE PARA:



MAS NOTE QUE PARA: ↑ ↑ OU ↓ ↓

NÃO HÁ PROCESSO POSSÍVEL.

CLARAMENTE, OS PROCESSOS PERMITIDOS, POR
 ABAIXAREM A ENERGIA, FAVORECEM A CONFIGURAÇÃO
 ANTI-PARALELA

CONTANDO TODOS OS PROCESSOS E GARANTINDO O SINAL, OBTENEMOS:

$$H_H = \sum_{\langle i,j \rangle} \underbrace{\left(\frac{4t^2}{J} \right)}_J \left(\vec{S}_i \cdot \vec{S}_j - \frac{1}{4} \right) = J \sum_{\langle i,j \rangle} \left(\vec{S}_i \cdot \vec{S}_j - \frac{1}{4} \right)$$

PARA CADA PAR: $|S=0, M=0\rangle = |0,0\rangle$ (SINGLETTO)

$$= \frac{1}{\sqrt{2}} (|\uparrow\downarrow\rangle - |\downarrow\uparrow\rangle)$$

$$|1,0\rangle = |S=1, M=0\rangle = \frac{1}{\sqrt{2}} (|\uparrow\uparrow\rangle + |\downarrow\downarrow\rangle)$$

$$|1,1\rangle = |S=1, M=+1\rangle = |\uparrow\uparrow\rangle$$

$$|1,-1\rangle = |S=1, M=-1\rangle = |\downarrow\downarrow\rangle$$

$$(\vec{S}_i \cdot \vec{S}_j - \frac{1}{4}) |0,0\rangle = \left(-\frac{3}{4} - \frac{1}{4}\right) |0,0\rangle = -|0,0\rangle$$

$$(\vec{S}_i \cdot \vec{S}_j - \frac{1}{4}) |1,m\rangle = \left(\frac{1}{4} - \frac{1}{4}\right) |0,0\rangle = 0$$

ESQUECENDO A CONSTANTE:

$$H_H = J \sum_{\langle ij \rangle} \vec{S}_i \cdot \vec{S}_j \quad J > 0$$

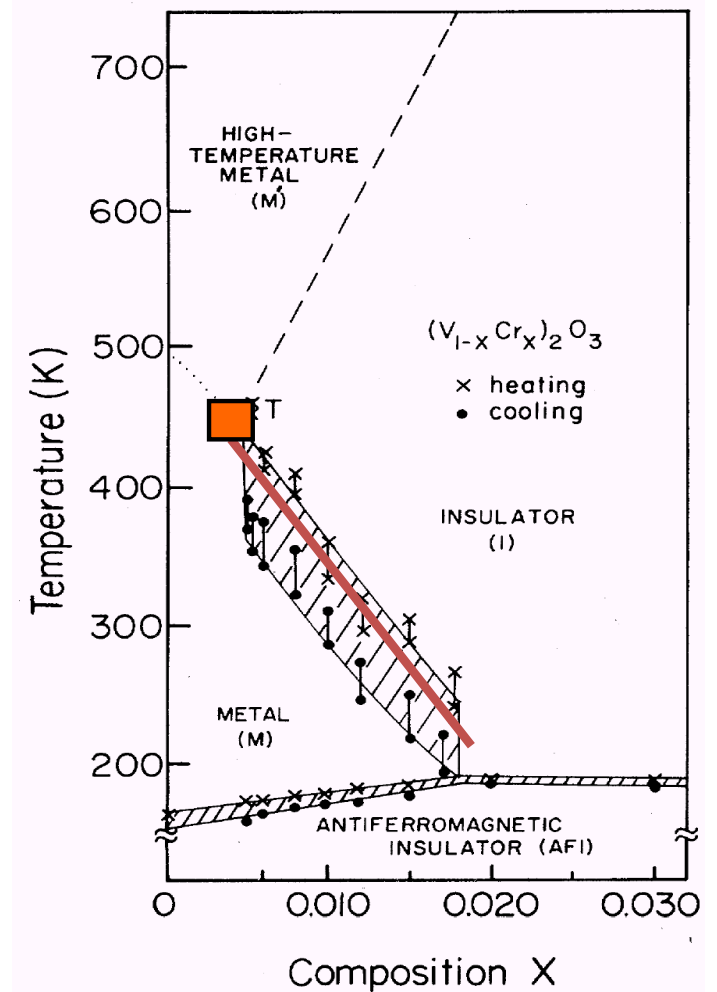
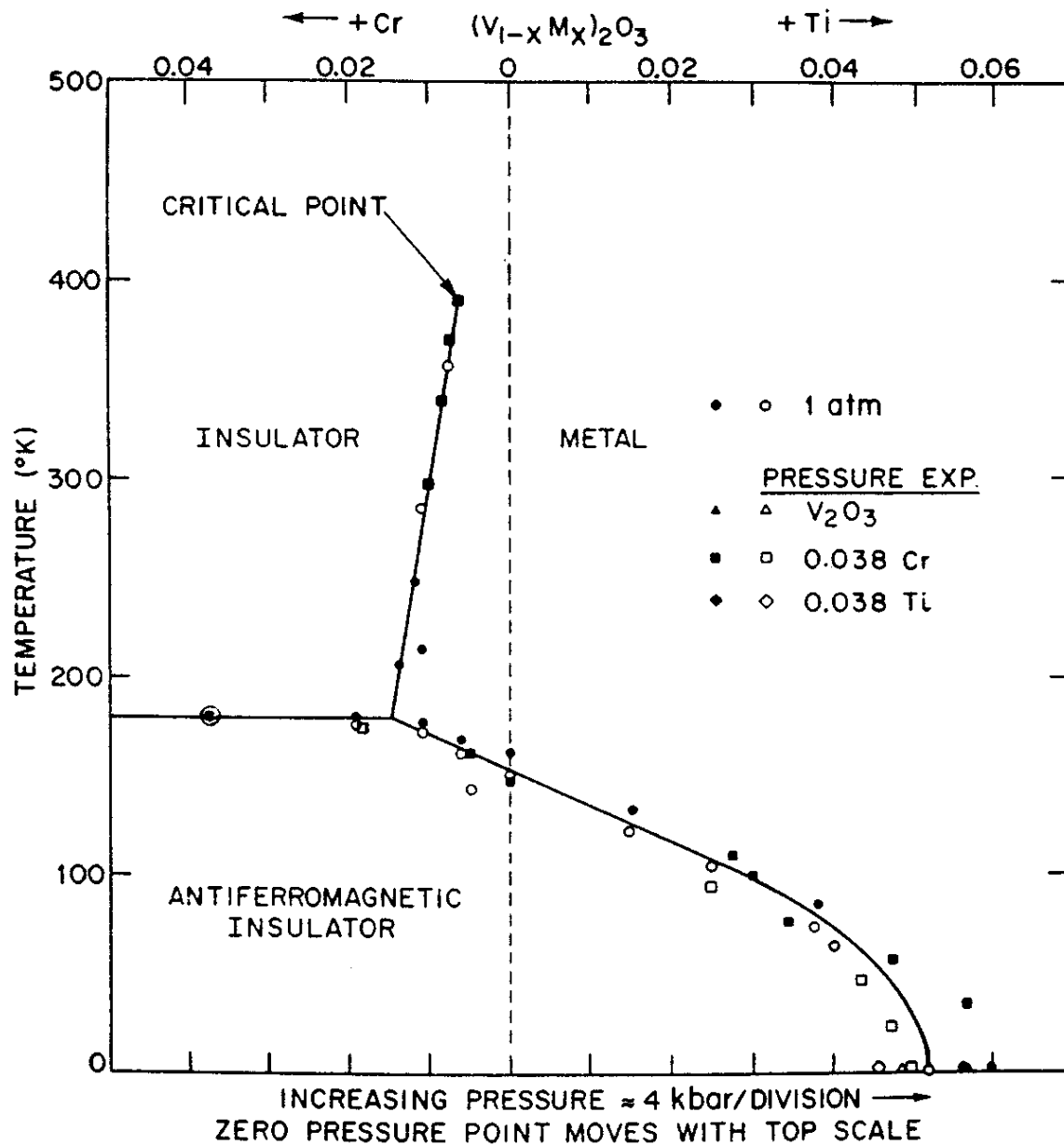
SUPER-EXCHANGE (ANDERSON, 1959)

O modelo de Heisenberg

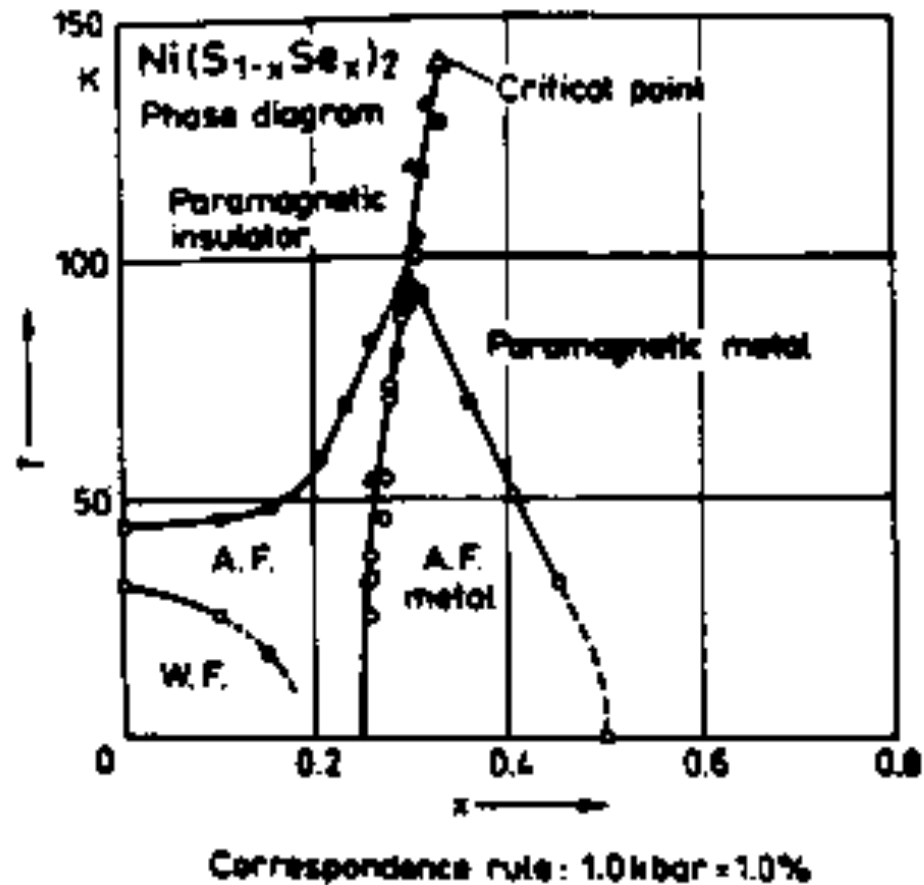
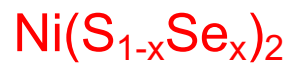
$$H = J \sum_{\langle ij \rangle} \left(\mathbf{S}_i \cdot \mathbf{S}_j - \frac{1}{4} \right)$$

$$J = \frac{4t^2}{U}$$

McWhan, D. B., A. Menth, J. P. Remeika, W. F. Brinkman, and T. M. Rice, 1973, Phys. Rev. B 7, 1920.



Kuwamoto, PRB '80



Czek *et al.*, JMMM 3, 58 (1976)

κ -(BEDT-TTF)₂Cu[N(CN)₂]Cl

